

УДК 537.311.3

**ЛОКАЛИЗАЦИЯ ЭЛЕКТРОНОВ
И ГАЛЬВАНОМАГНИТНЫЕ СВОЙСТВА
КОМПЕНСИРОВАННЫХ КРИСТАЛЛОВ $n\text{-Cd}_x\text{Hg}_{1-x}\text{Te}$ и $n\text{-InSb}$
В КВАНТУЮЩЕМ МАГНИТНОМ ПОЛЕ**

Б. А. Аронзон, Н. К. Чумаков

Проведены исследования компонент тензора удельного сопротивления ρ_{xx} , ρ_{zz} , ρ_{xy} компенсированных $n\text{-Cd}_x\text{Hg}_{1-x}\text{Te}$ и $n\text{-InSb}$ при температурах $0.35 \text{ K} \leq T \leq 30 \text{ K}$ (InSb) и $1.3 \text{ K} \leq T \leq 30 \text{ K}$ ($\text{Cd}_x\text{Hg}_{1-x}\text{Te}$) в магнитных полях $B \leq 8 \text{ T}$ ($B \parallel Z$). С увеличением магнитного поля наблюдается переход металл—диэлектрик, происходящий по следующему сценарию: 1) в слабых полях вещество находится в металлическом состоянии, затем 2) происходит локализация электронов в ямы крупномасштабного флюктуационного потенциала ($\Phi\text{П}$), и, наконец, 3) электроны локализуются в мелкомасштабном потенциале (эквивалент магнитного вымораживания). Подробно изучены свойства вещества во второй, промежуточной, фазе. Анализ различных способов описания наблюдаемых в этой фазе особенностей $\rho_{xx}(B, T)$, $\rho_{zz}(B, T)$, $\rho_{xy}(B, T)$ показывает, что наиболее адекватное описание достигается в модели «неоднородной среды», существенно учитывающей неоднородность распределения концентрации электронов по объему образца. Исследованы температурная и полевая зависимости предэкспоненциальных множителей активационной части проводимости. Проанализирована природа минимума в зависимости коэффициента Холла R_H от B .

1. В течение ряда лет в литературе активно дискутируется природа индуцированного магнитным полем перехода металл—диэлектрик в кристаллах $n\text{-Cd}_x\text{Hg}_{1-x}\text{Te}$ [1–9]. Наиболее аргументированной точкой зрения нам представляется рассмотрение этого перехода [7, 9, 10] как предложенной в [11] локализации электронов в ямах крупномасштабного флюктуационного потенциала ($\Phi\text{П}$), возникающего в компенсированных кристаллах за счет статистических флюктуаций концентрации заряженных примесей. Согласно этой модели, переход связан с опусканием (по мере роста магнитного поля) уровня Ферми ϵ_F под уровень протекания ϵ_p . Напомним, что в квантовом пределе магнитных полей $\epsilon_F \propto 1/B^2$. Переход происходит в магнитном поле $B=B_c$ при $\epsilon_F=\epsilon_p$.

Настоящая работа посвящена исследованию состояния вещества, возникающего после этого перехода, которое обладает рядом необычных свойств. В частности, в этом состоянии вещество проявляет свойства, характерные как для металла (независимость постоянной Холла и электронной теплоемкости C_e от T и B), так и для диэлектрика (экспоненциальная зависимость удельного сопротивления ρ от T и B ; значительное отличие низко- и высокочастотных компонент тензора проводимости при частотах, существенно меньших плазменной, циклотронной и частоты столкновений; скачок диэлектрической проницаемости ϵ в момент перехода). В работе проведены подробные исследования гальваномагнитных свойств $n\text{-Cd}_x\text{Hg}_{1-x}\text{Te}$ и $n\text{-InSb}$ после перехода и показано, что все они находят разумное объяснение в рамках указанной модели. При $B > B_c$ электроны собираются в металлические капли на дне ям $\Phi\text{П}$, разделенных диэлектрическими участками. Особенности этой сильнонеоднородной среды и определяют необычные свойства вещества после перехода.

Породившие дискуссию о природе перехода исследования проводились в основном на кристаллах $n\text{-Cd}_x\text{Hg}_{1-x}\text{Te}$ ($x=0.2$), обладающих рядом структурных несовершенств (малоугловые грани, включения p -типа [12] и т. д.). В то же время принято считать, что в аналогичном (но гораздо более совершенном) узкощелевом кристалле InSb переход металл—диэлектрик в магнитном поле происходит за счет магнитного вымораживания на отдельные доноры [18], в которое переходит локализация электронов в ямах ФП при стремящейся к нулю компенсации $K=N_A/N_D \rightarrow 0$ [11] (N_A, N_D — концентрации акцепторов и доноров).¹ В связи с этим нам представлялось существенным провести исследования перехода в компенсированных кристаллах как $\text{Cd}_x\text{Hg}_{1-x}\text{Te}$, так и InSb, где, как мы покажем, в отличие от случая $K=0$ переход происходит за счет локализации электронов в ямах ФП (обычно измерения в InSb проводились либо в недостаточно легированных, либо в недостаточно компенсированных кристаллах [13]). Как будет видно из дальнейшего, исследования на более совершенном кристалле InSb позволили наблюдать на одном образце три различные, последовательно сменяющие друг друга по мере роста магнитного поля, фазы: металл; неоднородная среда (электроны локализованы в ямах крупномасштабного ФП); диэлектрик с электронами, локализованными в мелкомасштабных потенциальных ямах (фаза магнитного вымораживания).

Номер образца	Состав	x	$10^{15} n^*$ см ⁻³	$10^8 \frac{\mu}{B \cdot c}$	K	$B_{c3}^{**} \frac{T}{T_L}$	$B_{cp}^{**} \frac{T}{T_L}$	$B_d T_L$	$B_{min} \frac{T}{T_L}$
1	InSb	—	5.4	0.096	0.8	1.5	1.7	6.6	4.2
2	$\text{Cd}_x\text{Hg}_{1-x}\text{Te}$	0.21	0.134	4.35	0.5	0.27	0.31	0.23	—
3	$\text{Cd}_x\text{Hg}_{1-x}\text{Te}$	0.21	0.27	4	0.4	0.48	0.72	0.79	0.75 (1.4 K) 0.45 (4.2 K)
4	$\text{Cd}_x\text{Hg}_{1-x}\text{Te}$	0.18	0.78	4.1	0.74	2.1	1.7	1.73	4—5
5	$\text{Cd}_x\text{Hg}_{1-x}\text{Te}$	0.19	0.18	0.61	0.94	0.2	0.15	0.36	0.32
6	$\text{Cd}_x\text{Hg}_{1-x}\text{Te}$	0.20	0.26	2.15	0.65	0.5	0.41	0.47	—
7	InSb	—	3.2	1.5	<0.15	—	—	3.0	2.8
8	InSb	—	12	1	<0.15	—	—	9.0	10.0

* При $T = 4.2$ К. ** B_{cp}, B_{c3} — рассчитанное и найденное из эксперимента значения B_c .

2. Анализ результатов эксперимента, проведенного на различных образцах $n\text{-Cd}_x\text{Hg}_{1-x}\text{Te}$ с $x=0.18\div0.21$ и различной концентрацией электронов $n=1.3\div8 \cdot 10^{14}$ см⁻³ при 1.3 К $\leqslant T \leqslant 30$ К и на образце InSb ($n=5.4 \cdot 10^{15}$ см⁻³) (см. таблицу) при 0.35 К $\leqslant T \leqslant 30$ К в магнитных полях до 8 Т, показывает, что во всех случаях диагональные компоненты тензора сопротивления можно однозначно представить в виде ($B \parallel Z$)²

$$\begin{aligned} \rho_{xx}^{-1} &= \rho_{1xx}^{-1} + \rho_{2xx}^{-1}, \quad \rho_{1xx} = \rho_{0xx} \exp(\epsilon_a/kT), \\ \rho_{zz}^{-1} &= \rho_{1zz}^{-1} + \rho_{2zz}^{-1}, \quad \rho_{1zz} = \rho_{0zz} \exp(\epsilon_a/kT), \end{aligned} \quad (1)$$

где ρ_2 зависит от температуры слабее, чем ρ_1 .

В то же время коэффициент Холла R_H слабо зависит от B и T по крайней мере в некотором диапазоне магнитных полей при $B \geqslant B_c$ и $T \leqslant 5\div7$ К (рис. 1—4). Энергии активации ρ_{1xx} и ρ_{1zz} совпадают, а при $B \leqslant B_c$

¹ Это обстоятельство побудило авторов [3, 4] предположить, что и в кристаллах $\text{Cd}_x\text{Hg}_{1-x}\text{Te}$, обычно компенсированных, переход металл—диэлектрик также происходит за счет магнитного вымораживания.

² Аддитивность ρ_{xx}^{-1} имеет место, поскольку при $B > B_c$ $\rho_{xx} \gg \rho_{xy}$ и, следовательно, $\rho^{-1} \approx \sigma$. Описание ведется в терминах ρ , а не σ , поскольку, как уже указывалось в [9], в неоднородной среде, возникающей после перехода, именно тензор ρ_{ab} непосредственно измеряемый на эксперименте, лучше отражает физическую картину.

$\varepsilon_a = 0$. Появление отличной от нуля энергии активации при $B \geq B_c$ свидетельствует о переходе вещества из металлического в диэлектрическое состояние, а зависимость $\varepsilon_a(B)$, которая для всех образцов носит сходный характер (рис. 4), определяет значение B_c .

В исследованных образцах $Cd_xHg_{1-x}Te$ ρ_2 составляет заметную величину лишь при минимальной температуре и в максимальных магнитных полях, причем $\rho_{2\pi\pi} = \rho_{2zz}$. Поэтому температурная зависимость ρ_{xx} , ρ_{zz} в большей части изученного диапазона температур определяется температурной зависимостью ρ_1 . Зависимость $\rho_2(T)$ не обнаружена. Соответствующие экспериментальные результаты для одного из образцов $Cd_xHg_{1-x}Te$ представлены на рис. 1 ($\rho_2/\rho_0 \approx 100$).

В отличие от представленных выше результатов для $Cd_xHg_{1-x}Te$ в исследованном образце InSb (образец № 1) ρ_2 играет существенную роль во всем интервале температур и полей при $B > B_c$. Поэтому, для того чтобы установить справедливость описания экспериментальных ре-

зультатов с помощью соотношения (1), необходимо определить вид зависимостей $\rho_{2\pi\pi}(T)$ и $\rho_{2zz}(T)$. Для этого были проведены измерения вплоть до $T = 0.35$ К. Зависимости $\rho(T)$ для образца № 1 представлены на рис. 2. Видно, что при низких температурах зависимости $\rho_{xx}(T)$ и $\rho_{zz}(T)$ хорошо описываются соотношением

$$\rho_{ii} = \rho_{\infty ii} \exp(T_0/T)^\alpha, \quad (2)$$

где $\alpha \approx 1/3$.

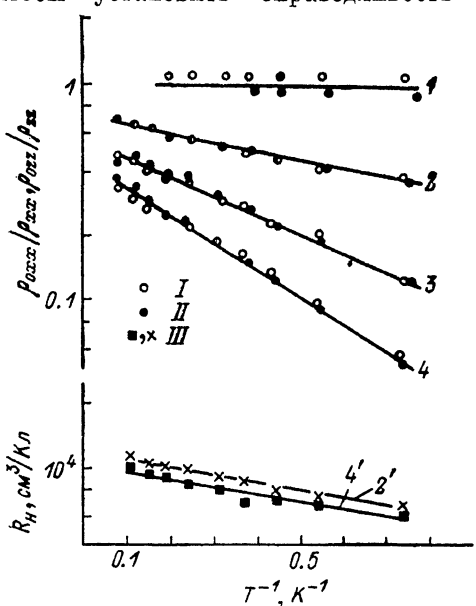


Рис. 1. Температурные зависимости активационной составляющей продольного ρ_{1zz} (I) и поперечного ρ_{1xx} (II) сопротивления и постоянной Холла R_H (III) для образца № 4 при различных значениях магнитного поля.

В, Т: 1 — 2; 2, 2' — 3; 3 — 4; 4, 4' — 5.

Хотя последующие результаты слабо зависят от значения α , для более точного его определения были построены зависимости $\ln \ln (\rho_{ii}/\rho_{\infty ii})(T)$ при различных значениях магнитного поля (рис. 2), откуда видно, что $\alpha = 1/3 \pm 0.03$ для всех значений B . Значения T_0 меняются от 0 при $B \leq B_c$ до $T_0 = 184$ К при $B = 7.7$ Т.

Подобные зависимости $\rho(T)$ согласуются с представлениями о прыжковой проводимости в магнитном поле. Значение $\alpha = 1/3$ является промежуточным между $\alpha = 1/2$ (соответствует прыжковой проводимости при наличии кулоновской щели в спектре энергии электронов [14]) и $\alpha = 1/4$ (кулоловская щель отсутствует). Значения $\alpha = 1/4$ следуют ожидать в случае предельно сильных компенсаций [15]. В нашем случае $K \approx 0.8$ компенсация не слишком высока и значение $\alpha = 1/3$ представляется разумным. Промежуточные (между $1/2$ и $1/4$) значения α наблюдались вблизи индуцированного магнитным полем перехода металл—диэлектрик и в работе [16].

Как видно из рис. 2, при достаточно высоких температурах значения ρ_{xx} , ρ_{zz} отклоняются от зависимости, описываемой соотношением (2). Величина этого отклонения $\Delta\rho^{-1}$ в зависимости от температуры при различных значениях B представлена на рис. 3, откуда видно, что $\Delta\rho^{-1} \propto \exp(\varepsilon_a/kT)$. Значения ε_a , найденные из зависимостей $\rho_{xx}(T)$ и $\rho_{zz}(T)$, согласуются между собой в пределах ошибки измерений. Таким образом, при $B > B_c$ ρ_{xx} и ρ_{zz} удовлетворяют соотношению (1), где $\Delta\rho^{-1} = \rho_1^{-1}$, а ρ_2 описывается соотношением (2). Последнее означает, что

в данном случае дополнительный механизм проводимости носит прыжковый характер. (Как уже указывалось, наши результаты слабо зависят от выбора значения α . Если в (2) искусственно положить $\alpha=1/4$, изменение ϵ_a не превысит ошибки измерений).

Представленная на рис. 4 зависимость $\epsilon(B)$ свидетельствует о том, что в данном образце происходит переход металл—диэлектрик при $B=B_c=1.5$ T. Как видно из рис. 4, после перехода ($B > B_c$) существует определенный интервал магнитных полей $B_c \leq B \leq B_{\min}$ (B_{\min} — поле, где наблюдается минимум R_H), в котором коэффициент Холла R_H не зависит от температуры и слабо зависит от магнитного поля. (Коэффициент

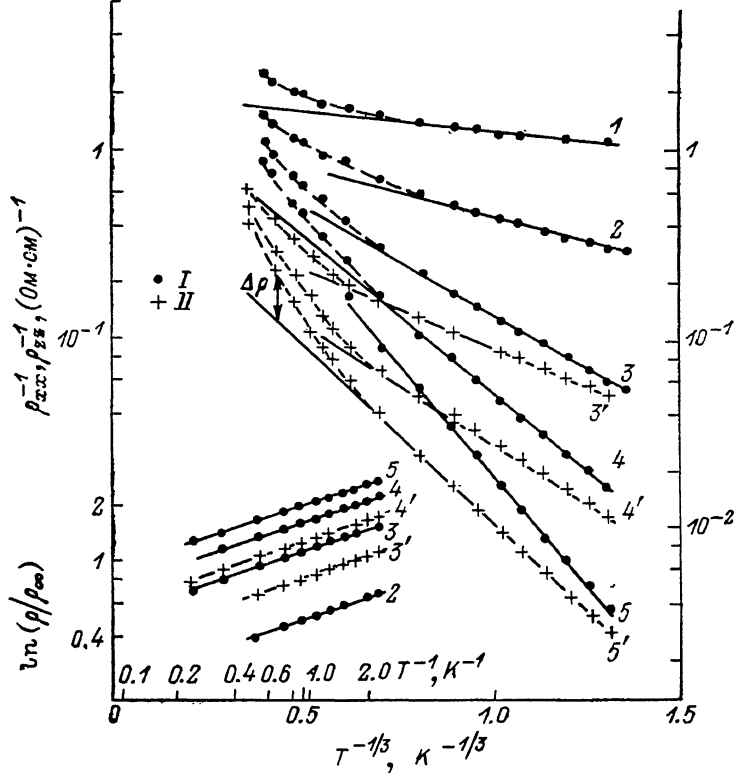


Рис. 2. Температурные зависимости продольного ρ_{xx} (I) и поперечного ρ_{zz} (II) сопротивления для образца № 1 при различных значениях магнитного поля.

B , T: 1 — 3.3; 2 — 4.7; 3, 3' — 6.0; 4, 4' — 6.9; 5, 5' — 7.7. На вставке — зависимость $\ln(\rho/\rho_\infty)$ от T для того же образца.

Холла R_H спадает с ростом B в этом интервале магнитных полей на величину $\sim 30\%$ в отличие от ожидаемого при магнитном вымораживании роста R_H , сходного с ростом ρ_{xx} , ρ_{zz} на два порядка величины). В образце № 1 поле B_{\min} совпадает с B_M — полем начала магнитного вымораживания для кристаллов InSb с тем же значением n и $K \ll 1$ [13].

3. Перейдем к анализу экспериментальных результатов. Прежде всего отметим, что, как видно из таблицы, экспериментальные значения B_c согласуются с рассчитанными на основе соотношений, приведенных в [11]. (Значения коэффициентов взяты из данных, приведенных в [10]).

Рассмотрим поведение $\rho_{xx}(B, T)$, $\rho_{zz}(B, T)$, $R_H(B, T)$ при $B > B_c$. В литературе предлагаются два объяснения слабой зависимости $R_H(B, T)$ при $B > B_c$. Первое [9] связано с тем, что после перехода металл—диэлектрик за счет локализации электронов в ямах крупномасштабного ФП вещество представляет собой сильнонеоднородную среду, состоящую из областей с металлической проводимостью (ямы ФП, в которых локализованы электроны), разделенных диэлектрическими участками. Второе [7]

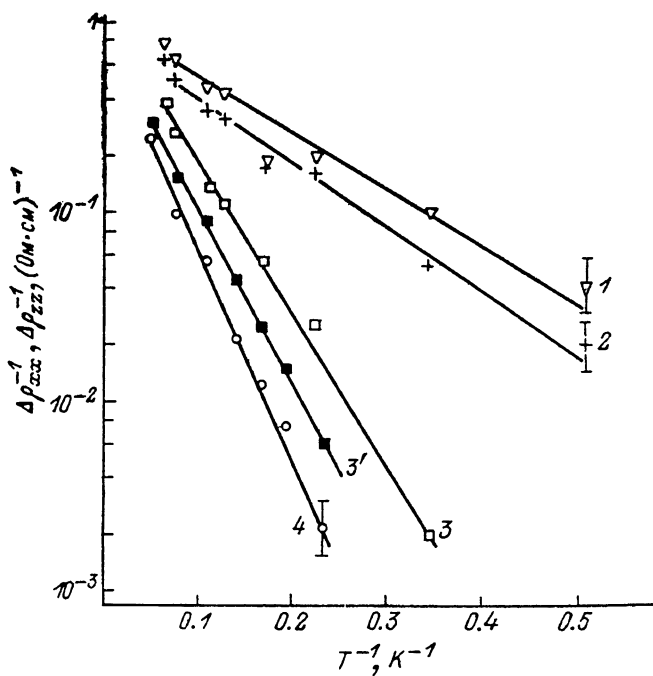


Рис. 3. Температурные зависимости $\Delta\rho_{xx}^{-1}$ (1—4) и $\Delta\rho_{zz}^{-1}$ (3') для образца № 1 при различных значениях магнитного поля.

B, T: 1 — 3.3; 2 — 4.7; 3, 3' — 6.9; 4 — 7.7.

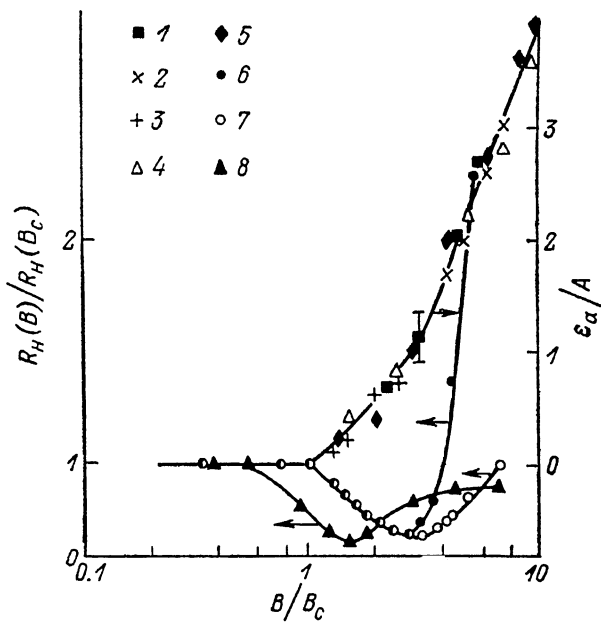


Рис. 4. Зависимости энергии активации ε_a (1—5) и коэффициента Холла R_H (6—8) для образцов № 1 (1, 6, 7), № 3 (2), № 4 (3), № 5 (4, 5), № 6 (5).

A, мэВ: 1 — 0.9; 2 — 0.23; 3 — 0.25; 4, 5 — 0.125. Значения R_H измерены при $T=0.36$ (6), 4.2 (7) и 2.2 К (8).

связано с учетом, в рамках двухзонной модели, проводимости квазилокализованных электронов.

В модели «неоднородной среды» проводимость определяется активацией электронов на уровень протекания, а коэффициент Холла — средней по образцу их концентрацией $\langle n \rangle$

$$\begin{aligned}\rho_{xx} &= \rho_{0xx} \exp((\epsilon_p - \epsilon_F)/kT), \\ \rho_{zz} &= \rho_{0zz} \exp((\epsilon_p - \epsilon_F)/kT), \\ \rho_{xy} &= B/\langle n \rangle e.c.\end{aligned}\quad (3) - (5)$$

Последнее соотношение основано на результатах работы [17], где показано, что в среде со случайно-неоднородным распределением концентрации электронов в сильном магнитном поле ($\sigma_{Lxx}^2 \gg \sigma_{Lxy}^2$; σ_L — локальное значение проводимости) $\langle j_x \rangle / \langle E_y \rangle = \langle j_x / E_y \rangle = \langle \sigma_{yx} \rangle$. В случае стандартных гальваномагнитных измерений с разомкнутой цепью холловского тока ($\langle j_y \rangle = 0$) в эксперименте мы определяем эффективное значение коэффициента холла $R_H = \langle E_y \rangle / \langle j_x \rangle B = 1 / \langle \sigma_{Lyx} \rangle B$, откуда следует (5). (С физической точки зрения соотношение (5) связано с неоднородностью распределения тока по объему образца. Плотность его выше там, где больше концентрация электронов $j_{Lx} \propto n_L$; в то же время $E_{Ly} \propto j_{Lx} / n_L$, т. е. холловское поле постоянно по объему и определяется средней концентрацией электронов; j_{Lx} , n_L , E_{Ly} — локальные значения).

В работе [7] предлагается интерпретировать слабую зависимость $R_H(B, T)$ при $B > B_c$ на основе «двухзонной» модели, когда в явлениях переноса принимают участие два типа носителей с концентрациями n_1 и n_2 и подвижностями μ_1 и μ_2 . Первые — делокализованные ($\epsilon > \epsilon_p$), вторые — квазилокализованные ($\epsilon < \epsilon_p$) электроны, $n = n_1 + n_2$. С помощью численного анализа классических выражений для ρ_{xx} и ρ_{xy} в магнитном поле при наличии двух сортов носителей авторам удается качественно описать наблюдаемые магнитополевые зависимости ρ_{xx} и ρ_{xy} . Однако такое объяснение возможно только при $\sigma_{2xx} > \sigma_{1xx}$. В противном случае ($\sigma_{1xx} > \sigma_{2xx}$, а поскольку $\mu_1 \gg \mu_2$, то и $\sigma_{1xy} > \sigma_{2xy}$), учитывая $\mu_1 B/c \gg 1$, имеем $R_H \sim 1/\sigma_{1xy} \sim n_1^{-1} \sim \exp((\epsilon_p - \epsilon_F)/kT)$, т. е. R_H сильно, аналогично ρ_{xx} , зависит от T и B .

В рамках двухзонной модели должны иметь место соотношения³

$$\sigma_{\alpha\beta} = \sigma_{1\alpha\beta} + \sigma_{2\alpha\beta}, \quad \sigma_{1xx} \leq \sigma_{2xx}, \quad (6), (7)$$

$$\sigma_{1xx} \sim \sigma_{1zz} \sim \sigma_{1xy} \sim n_1 \sim \exp((\epsilon_p - \epsilon_F)/kT), \quad (8)$$

$$\sigma_{1xx} \ll \sigma_{1xy}. \quad (9)$$

«Двухзоная» модель не учитывает специфику локализации электронов в ФП (т. е. неоднородности распределения концентрации электронов по объему образца) и применима также при магнитном вымораживании электронов на отдельные примеси, когда проводимость макроскопически однородна (на расстояниях, больших размера волновой функции локализованного электрона). Эта ситуация реализуется в слабокомпенсированных кристаллах и изучена в работе [18], где показано соответствие результатов эксперимента соотношениям (6)–(9).

Представленные выше результаты гальваномагнитных измерений в $Cd_xHg_{1-x}Te$ относятся (в отличие от [18]) к компенсированным кристаллам. По крайней мере в некотором интервале магнитных полей при $B > B_c$ полученные зависимости $\rho_{xx}(B, T)$, $\rho_{zz}(B, T)$, $R_H(B, T)$ не могут быть объяснены в рамках «двухзонаной» модели проводимости и в то же время согласуются с представлениями, основанными на модели «неоднородной среды». Во-первых, после перехода ($B > B_c$), но не в слишком сильных магнитных полях $\sigma_{ii} \simeq \rho_{1ii}^{-1} \gg \rho_{2ii}^{-1} \simeq \sigma_{2ii}$ (рис. 1). Во-вторых, $\rho_{xx} \gg \rho_{xy}$,

³ Последнее соотношение следует из того, что рассматривается случай сильного магнитного поля.

а ($\sigma_{xx} \gg \sigma_{xy}$) (именно поэтому $\sigma_{xx} \approx \rho_{xx}^{-1}$). В-третьих, энергии активации ρ_{xx} и ρ_{zz} совпадают, а ρ_{xy} от температуры практически не зависит. (Соответственно значение ϵ_a , найденное из $\sigma_{xy}(T)$, в два раза больше найденного из $\sigma_{xx}(T)$ и $\sigma_{zz}(T)$). Таким образом, в этом диапазоне магнитных полей выполняются все соотношения (3)–(5), а соотношения (6)–(9) находятся в противоречии с экспериментальными результатами.

Перейдем к анализу результатов измерений гальваномагнитных свойств компенсированного кристалла InSb (образец № 1) при $B > B_c$. В данном случае соотношение $\sigma_1 \gg \sigma_2$ не выполняется и можно было бы предположить, что температурные и полевые зависимости компонент тензора сопротивления (в частности, слабая зависимость R_H от B и T) объясняются исключительно в рамках двухзонной модели [7] без привлечения модели «неоднородной среды». Однако результаты эксперимента противоречат этому предположению. Действительно, во всем исследованном диапазоне магнитных полей при $B > B_c$ и температур экспериментальные результаты удовлетворяют соотношению $\sigma_{1xx} > \sigma_{1xy}$, противоположному неравенству (9). Кроме того, энергии активации $\sigma_{1xy}(T) \approx \rho_{1xx}^{-1}(T)$ и $\sigma_{1zz}(T)$ близки и приблизительно в два раза меньше ϵ_a , найденной из зависимости $\sigma_{xy}(T)$. Подобное соотношение между энергиями активации противоречит условию (8) и оказывается вполне естественным в модели «неоднородной среды» (соотношения (3)–(5)), равно как и условие $\sigma_{1xx} > \sigma_{1xy}$.

Таким образом, для адекватного описания гальваномагнитных явлений в этом образце после перехода при $B_c \leq B \leq B_M$ необходимо объединить представления, соответствующие модели «неоднородной среды» и «двухзонной» модели. Это означает учесть в модели «неоднородной среды» вклад в проводимость квазилокализованных носителей. При этом $\sigma_1 \approx \rho_1^{-1}$ — проводимость делокализованных с $\epsilon > \epsilon_p$, а $\sigma_2 \approx \rho_2^{-1}$ квазилокализованных ($\epsilon < \epsilon_p$) носителей. Первая определяется соотношениями (3)–(4), вторая носит металлический характер внутри электронной капли, находящейся в яме ФП, где локализованы электроны, и прыжковый между каплями. Именно прыжковая проводимость и определяет величину ρ_2 , поскольку металлическая проводимость внутри ямы ФП существенно выше.

Достаточно большое превышение локальной проводимости в металлических каплях над прыжковой приводит к тому, что основная часть тока, текущего через образец, протекает по этим каплям и вызывает появление в них холловского поля. При $\sigma_{2xx} \geq \sigma_{1xx}$ холловское поле в пространстве между каплями существенно меньше (в силу малости σ_{xy} для прыжковой проводимости), чем в случае, когда ток между каплями переносится только делокализованными носителями, для которого получено соотношение (5). Можно показать, что при $\sigma_2 > \sigma_1$

$$R_H \propto \frac{B}{\langle n \rangle e c} \frac{d}{L}, \quad (10)$$

L — расстояние между каплями, d — их размер.⁴ При $B=B_c$ $d/L \approx 1$.

В квантовом пределе магнитных полей плотность электронных состояний линейно растет с ростом B , что приводит к уменьшению d и соответственно к некоторому спаду R_H при увеличении магнитного поля выше B_c в согласии с представленными на рис. 4 данными. Как показано в работе [19], результаты которой могут быть легко перенесены на случай

⁴ В самом деле, $j_y = \sigma_{yy}^{(1)} E_y^{(1)} - \sigma_{xy}^{(1)} E_x^{(1)} = \sigma_{yy}^{(2)} E_y^{(2)} - \sigma_{xy}^{(2)} E_x^{(2)}$. Здесь верхние индексы «1», «2» относятся к каплям и промежуткам между ними соответственно. Холловское напряжение $U_H = (E_y^{(1)} d + E_y^{(2)} L) N$, где N — количество капель на ширине образца. Если в проводимости между каплями основной вклад дают делокализованные носители ($\epsilon > \epsilon_p$), т. е. если $\sigma_{2xx} \ll \sigma_{1xx}$, то, как показано в [17], $E_y = \text{const}$. Иными словами, $E_y^{(1)} = E_y^{(2)}$. В случае прыжковой проводимости между каплями ($\sigma_2 \gg \sigma_1$) при $j_y \rightarrow 0$ имеем $E_y^{(2)} \rightarrow 0$, так как $\sigma_{xy}^{(2)} = 0$. Следовательно U_H , а значит, и R_H в d/L раз меньше, чем в первом случае ($\sigma_2 \ll \sigma_1$), когда справедливо (5).

квантующего магнитного поля, если электроны в капле вырождены, ее размер не зависит от температуры. Это объясняет отсутствие температурной зависимости R_H при $T \leq 5$ К (рис. 4). При $T > 5$ К R_H слабо растет с температурой, стремясь к значению $R_H = B_c / \langle n \rangle eC$. Рост R_H может быть связан с увеличением d ($d \propto T^2$) при $kT > \epsilon_F$, но, вероятнее, его причина — изменение неравенства $\sigma_{2xx} \geq \sigma_{1xx}$ при высоких температурах на противоположное.

В заключение данного раздела обсудим характер зависимостей $\rho_{0xx}(T, B)$, $\rho_{0zz}(T, B)$. Во всех исследованных образцах наблюдается зависимость $\rho_{0xx} \sim \rho_{0zz} \sim B$, соответствующая магнитосопротивлению перевальных точек на путях протекания [20] (подробнее см. [9]).

В образцах $Cd_xHg_{1-x}Te$ при $B = B_c$, $\rho_1^{-1} \gg \rho_2^{-1}$, $\epsilon_a = 0$, и поэтому $\rho_{0xx}(B_c) = \rho_{xx}(B_c)$, $\rho_{0zz}(B_c) = \rho_{zz}(B_c)$. Найденные отсюда температурные

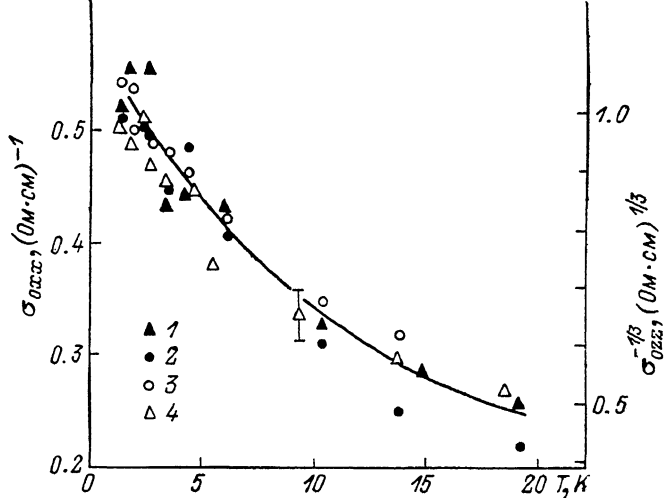


Рис. 5. Температурные зависимости σ_{0xx} (1, 2) и $\sigma_{0zz}^{-1/3}$ (3, 4) для образцов № 2 (1, 4) и № 3 (2, 3).

Значения $\sigma_{0zz}^{-1/3}$ для образца № 3 (3) умножены на 1.6%.

зависимости $\sigma_{0xx} = \rho_{0xx} / (\rho_{0xx}^2 + \rho_{0xy}^2)$ и $\sigma_{0zz} = 1 / \rho_{0zz}$ представлены на рис. 5. Видно, что зависимости $\sigma_{0xx}(T)$ и $\sigma_{0zz}^{-1/3}(T)$ близки. Это соответствует результатам работы [21], в которой проанализирована проводимость металла в квантовом пределе с учетом эффектов локализации и корреляции и показано, что $\sigma_{xx}(T) \sim \sigma_{zz}^{-1/3}(T)$. Рассуждения, содержащиеся в [21], справедливы вплоть до перехода металл—диэлектрик. Значит, должно иметь место наблюдаемое в эксперименте соотношение

$$\sigma_{0xx}(T) \sim \sigma_{0zz}^{-1/3}(T) \quad (11)$$

для предэкспоненциальных множителей. В случае InSb эти зависимости очень слабы и проверить справедливость (11) не удалось, хотя видно, что зависимость $\sigma_{0zz}(T)$ явно сильнее, чем $\sigma_{0xx}(T)$.

Таким образом, результаты эксперимента хорошо согласуются с описанием свойств вещества после перехода (при $B > B_c$), основанным на модели «неоднородной среды», согласно которому ρ_1 удовлетворяет соотношениям (3), (4), (11), $\rho_0 \sim B$; ρ_{xy} определяется средней по объему концентрацией электронов (соотношения (5), (10), $\rho_{xy} < \rho_{xx}$), а ρ_2 — прыжковой проводимостью (соотношение (2)).

4. Рассмотрим, как изменяются свойства кристалла при дальнейшем увеличении магнитного поля. Рассуждения, приводящие к соотношениям (5), (10), справедливы только в предположении о возможности введения локальных компонент тензора проводимости. Для этого необходимо, чтобы размеры капель, в которые собираются электроны на дне ям ФП, были

достаточно велики (в поперечном магнитному полю направлении много больше магнитной длины $l_s = (\hbar c/eB)^{1/2}$).⁵

При дальнейшем увеличении магнитного поля размер электронных капель уменьшается [11] из-за роста плотности состояний (происходит их дробление). В итоге нарушается классичность поперечного магнитному полю движения электрона, потенциал становится мелкомасштабным. Иными словами, дальнейшее увеличение магнитного поля настолько сжимает волновую функцию электрона ($l_s \sim 1/B^{1/4}$), что в некотором магнитном поле $B=B_M$ в ее объеме остается всего одна примесь. Локализация во флуктуационном потенциале переходит в обычное магнитное вымораживание. При $B > B_M$ наблюдается (рис. 4) переход к характерным для магнитного вымораживания зависимостям, — ρ_{xy} сильно и сходно с ρ_{xx} , ρ_{zz} растет с увеличением B и уменьшением T . (В $Cd_xHg_{1-x}Te$ рост $\rho_{xy}(B)$ при $B > B_M$ часто завуалирован влиянием шунтирующих механизмов проводимости).

Таким образом, состояние вещества с электронами, локализованными в ямах ФП, является промежуточным между металлом и обычным диэлек-

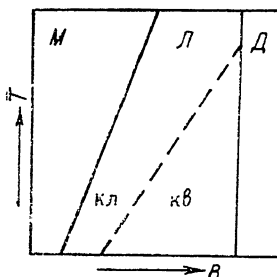


Рис. 6. Фазовая диаграмма состояния электронной системы в узкозонных полупроводниках.

M — металлы, L — электроны локализованы в ямах крупномасштабного ФП (классическое (кл) и квантовое (кв) экранирование), D — обычный диэлектрик (фаза магнитного вымораживания).

триком с локализованными на отдельных примесях электронами. Это промежуточное состояние «флуктуационный полупроводник» проявляет одновременно как металлические ($R_H(B, T)=\text{const}$), так и диэлектрические свойства ($\rho \propto \exp(\epsilon_a/kT)$).⁶

Эти рассуждения приводят к представленной на рис. 6 фазовой диаграмме. Штриховая линия учитывает изменение характера ФП с классического (соответствует случаю классического экранирования) на квантовый (квантовое экранирование) [11]. В слабокомпенсированных кристаллах $B_c=B_M$ и область L на фазовой диаграмме отсутствует.

5. В заключение более подробно обсудим спад $R_H(B)$ при $B_c \leq B \leq B_M$ (рис. 4). (До сих пор нам было достаточно утверждения, что зависимость R_H гораздо слабее $\rho_{xx}(B)$ и $\rho_{zz}(B)$). Природа этого спада в настоящее время активно дискутируется [24, 7, 23].

Шеджен с сотрудниками [4] считают, что индуцированный магнитным полем переход металл—диэлектрик в $Cd_xHg_{1-x}Te$ происходит за счет разрушения при $B=B_{cM}$ металлического кластера, образованного донорными состояниями примесной зоны, иными словами, за счет локализации электронов на отдельных донорах. Наличие минимума $R_H(B)$ эти авторы связывают с предположением, что электроны локализуются на донорах уже при $B < B_M$, причем в первую очередь на тех, расстояние которых до ближайших соседей превышает $N_D^{-1/3}$. Последнее приводит к росту эффективной концентрации электронов n_{eff} в металлическом кластере (так как его объем уменьшается быстрее, чем количество электронов в нем) и поэтому вызывает спад $R_H(B)$ при $B < B_M$.

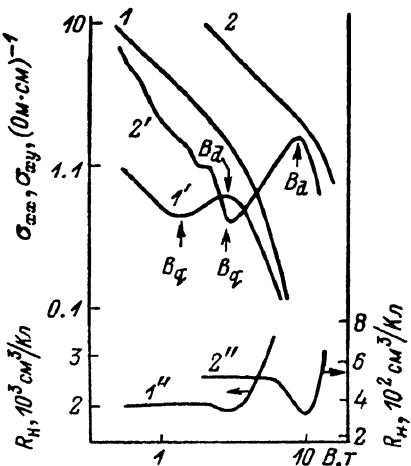
⁵ Анализ работы [7] приводит к более жесткому ограничению $\sigma_{Lzz} \gg \sigma_{Dxx}(d/L)$ (этот результат принадлежит Л. И. Глазману). Поскольку при $B=B_c$ $L=d$, существует область полей $B > B_c$, где (5), (10) имеют место.

⁶ В этой области, а также в области перехода электронная теплоемкость $C_e(B)=\text{const}$, как в металле [22], а высокочастотные компоненты тензора проводимости существенно отличаются от статических, как в диэлектрике [8].

Тот факт, что в относительно слабокомпенсированных кристаллах ($K < 0.5$) переход действительно происходит при $B = B_M$, показан в работе [4] весьма убедительно и соответствует нашим представлениям. Однако предложенную авторами [4] трактовку спада $R_H(B)$ при $B < B_M$ нельзя принять по целому ряду причин. Во-первых, такая трактовка предполагает металлический характер проводимости вплоть до $B = B_M$, в то же время в наших экспериментах аналогичный спад R_H наблюдается при $B > B_c$, где металлическая проводимость отсутствует (рис. 4). Кроме того, даже если оставаться в рамках предположений авторов [4], необходимо учитывать, что каждый акт локализации электрона на доноре ведет не только к увеличению n_{eff} , но и к перераспределению тока по образцу. Последнее компенсирует влияние роста n_{eff} на R_H и не учитывается в работе [4]. Также в такой модели нет места для учета влияния компенсации на глубину минимума $R_H(B)$, что обнаружено в [23]. Предложенное в [4] рассмотрение неудовлетворительно прежде всего потому, что оно использует локальные значения n , j , σ в области локализации электрона. Введение этих величин оправдано, только если область локализации электронов достаточно велика, например при локализации в ямах крупномасштабного ФП, и не имеет смысла при локализации на отдельных донорах.

К спаду $R_H(B)$ может приводить наличие шунтирующего механизма проводимости, вклад которого увеличивается с ростом магнитного поля.

Рис. 7. Зависимости σ_{xy} (1, 2), σ_{xx} (1', 2') и R_H (1'', 2'') для образцов № 7 (1, 1', 1'') и № 8 (2, 2', 2'') при $T = 4.2$ К от магнитного поля.



Выше мы указывали (см. соотношение (10)), что учет прыжковой проводимости локализованных ($\epsilon < \epsilon_p$) носителей в модели «неоднородной среды» ведет к спаду $R_H(B)$ при $B_c \leq B \leq B_M$ (см. также [7]). Однако, такое объяснение годится только при $\sigma_2 > \sigma_1$, что далеко не всегда имеет место в области минимума $R_H(B)$.

На наш взгляд, при обсуждении природы минимума $R_H(B)$ необходимо учитывать квантовый характер проводимости в квантующем магнитном поле. Как показали Адамс и Гольстейн [24], в случае рассеяния электронов на ионах примеси и при $B > B_q$ $\sigma_{xx} \propto B$ для вырожденного и $\sigma_{xx} \propto B^{-2}$ для невырожденного электронного газа ($B_q = (\hbar c/e) n^{1/3} \times \sqrt{8\pi^4/(m^*/m_0) g^*} \approx 1.49 \pi^2 (\hbar^2 c n / e (m^* k T)^{1/2})^{1/3}$), такое характере зависимости $\sigma_{xx}(B)$ ведет к максимуму σ_{xx} при $B = B_q$. (Это явление было подробно исследовано с помощью изучения распространения геликонных волн в работе [25]). Указанный максимум $\sigma_{xx}(B)$ может привести к минимуму $R_H(B) = \sigma_{xy}/(\sigma_{xy}^2 + \sigma_{xx}^2)$ даже в области металлической проводимости. На рис. 7 представлены экспериментальные зависимости $\sigma_{xx}(B)$, $\sigma_{xy}(B)$ и $R_H(B)$ для двух исследованных образцов InSb (№ 7, 8). Поскольку в этих образцах $K \ll 1$, рассмотренные в данной работе особенности перехода металл—диэлектрик в них не наблюдаются, однако минимум $R_H(B)$, как видно из рис. 7, имеет место. Важно подчеркнуть, что в соответствии с развитыми представлениями начало спада $R_H(B)$ наблюдается при $B = B_q$. Этот же вывод убедительно демонстрируют и результаты работы [4]. В сильнокомпенсированных кристаллах величина $\epsilon_F - \epsilon_p$ относительно мала и условие $\epsilon_F = \epsilon_p$ достигается в полях, мало

превышающих поле B_q , в котором появляется зависимость $\epsilon_F(B)$, т. е. поле перехода и поле начала спада R_H близки (рис. 7).

С представлениями о квантовом характере проводимости как причине спада R_H согласуется и зависимость $R_H(B)$ для образца № 3.⁷ Более того, для этого образца при $B=B_{\min}$ $\rho_2 \gg \rho_1$, $B_{\min} \approx B_d < B_M$ и температурная зависимость $B_{\min}(T)$ хорошо согласуется с зависимостью $B_d \propto 1/T^{\eta}$ (см. таблицу). Рост $R_H(B)$ при $B \gg B_{\min}$ не наблюдается из-за шунтирующего действия в этом диапазоне магнитных полей, посторонних механизмов проводимости, связанных с несовершенством кристалла.

Мы считаем, что при объяснении поведения $R_H(B)$ следует учитывать как квантовый характер проводимости, так и вклад в проводимость квазилокализованных носителей.

Анализ представленных экспериментальных данных подтверждает вывод о том, что в легированных компенсированных кристаллах InSb и $Cd_xHg_{1-x}Te$ переход металл—диэлектрик происходит за счет локализации электронов в крупномасштабном флуктуационном потенциале, сменяющейся магнитным вымораживанием. В области локализации в крупномасштабном потенциале вещество проявляет необычные гальваномагнитные свойства, которые описываются в модели «неоднородной среды».

Считаем своим приятным долгом поблагодарить Ю. М. Гальперина, Л. И. Глазмана, И. Л. Дричко, Б. И. Шкловского за полезные дискуссии, а Л. Б. Литвак-Горскую и С. С. Мурзина за помощь в эксперименте.

Список литературы

- [1] Stadler J. P., Nimtz G., Schlicht B., Remeneyi G. // Sol. St. Comm. 1984. V. 52. N 1. P. 67—69.
- [2] Nimtz G. // Proc. 18 ICPS. Stockholm, 1986. V. 2. P. 1197—1204.
- [3] Shayegan M., Drew H. D., Goldman V. J. et al. // Phys. Rev. B. 1985. V. 32. N 10. P. 6952—6955.
- [4] Shayegan M., Goldman V. I., Drew H. D. // Phys. Rev. B. 1988. V. 38. N 8. P. 6952—6955.
- [5] Aleinikov A. B., Baranskii P. I., Zhidkov A. V. // Sol. St. Comm. 1983. V. 48. N 1. P. 75—78.
- [6] Арапов Ю. Г., Давыдов А. Б., Зверева М. Л. и др. // ФТП. 1983. Т. 17, № 8. С. 3192—3196.
- [7] Цидильковский И. М. // УФН. 1987. Т. 152. № 4. С. 583—622.
- [8] Аронзон Б. А., Копылов А. В., Мейлихов Е. З. и др. // ЖЭТФ. 1985. Т. 89. № 1. С. 126—133.
- [9] Аронзон Б. А., Копылов А. В., Мейлихов Е. З. // ФТП. 1986. Т. 20. № 8. С. 1457—1462.
- [10] Аронзон Б. А., Никитин М. С., Сусов Е. В., Чумаков Н. К. // ФТП. 1988. Т. 22. № 5. С. 832—840.
- [11] Шкловский Б. И., Эфрос А. Л. // ЖЭТФ. 1973. Т. 64. № 6. С. 2222—2231.
- [12] Елизаров А. И., Иванов-Омский В. И., Корниш А. А., Петряков В. А. // ФТП. 1984. Т. 18. № 2. С. 201—205.
- [13] Raymond A., Robert J. L., Aulombard R. L., Bousquest C. // Phil. Mag. B. 1980. V. 42. N 6. P. 1003—1025.
- [14] Шкловский Б. И. // Письма в ЖЭТФ. 1982. Т. 36. № 2. С. 43—46.
- [15] Шкловский Б. И., Эфрос А. Л. Электронные свойства легированных полупроводников. М., 1979. 416 с.
- [16] Biskupski G., Briggs A. // J. Non-Cryst. Sol. 1987. V. 97—98. N 1. P. 683—686.
- [17] Шик А. Я. // ФТП. 1983. Т. 17. № 12. С. 2220—2222.
- [18] De Vos G., Herlach F., Myron H. W. // J. Phys. C. 1986. V. 19. N 1. P. 2509—2518.
- [19] Гуляев Ю. В., Плещинский В. П. // ЖЭТФ. 1976. Т. 17. № 4. С. 1477—1480.
- [20] Шик А. Я. // ФТП. 1975. Т. 9. № 6. С. 1152—1154.
- [21] Мурзин С. С. // Письма в ЖЭТФ. 1987. Т. 45. № 5. С. 228—231.
- [22] Аронзон Б. А., Копылов А. В., Мейлихов Е. З. // ФТП. 1987. Т. 21. № 6. С. 1112—1117.
- [23] I. M. Tzidilkovskii, Yu. G. Arapov, M. L. Zvereva et al. // Phys. St. Sol. (b). 1988. V. 148. N 2. P. 197—204.
- [24] Adams F., Holstein T. J. // J. Phys. Chem. Sol. 1959. V. 10. N 2. P. 254—271.
- [25] Aronzon B. A., Meilikov E. Z. // Phys. St. Sol. (b). 1977. V. 79. N 2. P. 753—762.

Институт атомной энергии
им. И. В. Курчатова
Москва

Поступило в Редакцию
6 июля 1988 г.

⁷ С этим также связан спад $R_H(B)$ при $B_q \leq B < B_c$ в ряде образцов, например для образца № 5 (рис. 4).